



# Schéma numérique pour la résolution de l'équation du transport des neutrons avec la méthode des caractéristiques

François FÉVOTTE  
Simone SANTANDREA  
Richard SANCHEZ

CEA/DEN/DM2S/SERMA

Rencontres Jeunes Chercheurs 2006



# Plan

## Introduction

Intérêt de la simulation neutronique

## Modélisation de la neutronique : éq. de Boltzmann

Modélisation de la neutronique

Equation de Boltzmann

## Méthode des caractéristiques (MOC)

Étude de l'équation de Boltzmann

Fonctionnement de la méthode

## Améliorations de la méthode des caractéristiques

Méthode des « bandes »

Traçage modulaire



# Plan

## Introduction

Intérêt de la simulation neutronique

## Modélisation de la neutronique : éq. de Boltzmann

Modélisation de la neutronique

Equation de Boltzmann

## Méthode des caractéristiques (MOC)

Étude de l'équation de Boltzmann

Fonctionnement de la méthode

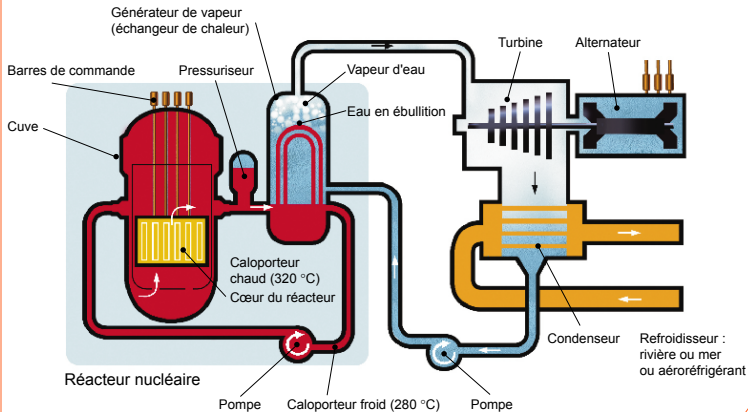
## Améliorations de la méthode des caractéristiques

Méthode des « bandes »

Traçage modulaire

# Introduction

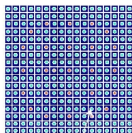
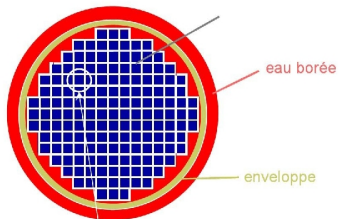
## Schéma de principe d'un réacteur à eau sous pression





# Introduction

## Problème multi-échelles



assemblage



crayon / cellule



# Introduction

## Utilité des calculs de simulation neutronique

- ▶ Conception :
  - ▶ Conception des assemblages combustibles
  - ▶ Dimensionnement du coeur
  - ▶ Dossiers de sûreté
- ▶ Exploitation :
  - ▶ Plans de chargement
  - ▶ Confrontation avec les détecteurs
- ▶ Démantèlement :
  - ▶ Radioprotection
  - ▶ Transport des déchets



# Plan

## Introduction

Intérêt de la simulation neutronique

## Modélisation de la neutronique : éq. de Boltzmann

Modélisation de la neutronique

Equation de Boltzmann

## Méthode des caractéristiques (MOC)

Étude de l'équation de Boltzmann

Fonctionnement de la méthode

## Améliorations de la méthode des caractéristiques

Méthode des « bandes »

Traçage modulaire



# Modélisation de la neutronique

## Grandeurs fondamentales de la neutronique

- ▶ 7 variables :
  - ▶  $\vec{r}$  : position du neutron
  - ▶  $\vec{\Omega}$  : direction du neutron
  - ▶  $E$  ou  $v$  : énergie ou vitesse du neutron ( $E = \frac{1}{2} m v^2$ )
  - ▶  $t$  : temps



# Modélisation de la neutronique

## Grandeurs fondamentales de la neutronique

- ▶ 7 variables :
  - ▶  $\vec{r}$  : position du neutron
  - ▶  $\vec{\Omega}$  : direction du neutron
  - ▶  $E$  ou  $v$  : énergie ou vitesse du neutron ( $E = \frac{1}{2} m v^2$ )
  - ▶  $t$  : temps
  
- ▶ densité de neutrons :  $n(\vec{r}, \vec{\Omega}, E, t)$  [ $cm^{-3}$ ]  
nombre de neutrons par unité de volume



# Modélisation de la neutronique

## Grandeurs fondamentales de la neutronique

- ▶ flux de neutrons :  $\Phi(\vec{r}, \vec{\Omega}, E, t)$  [ $cm^{-2} s^{-1}$ ]  
nombre de neutrons traversant une surface élémentaire orthogonale par unité de temps



# Modélisation de la neutronique

## Grandeurs fondamentales de la neutronique

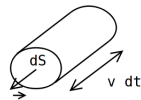
- ▶ flux de neutrons :  $\Phi(\vec{r}, \vec{\Omega}, E, t)$  [ $cm^{-2} s^{-1}$ ]  
nombre de neutrons traversant une surface élémentaire orthogonale par unité de temps
- ▶ courant neutronique :  $\vec{J}(\vec{r}, \vec{\Omega}, E, t)$  [ $cm^{-2} s^{-1}$ ]  
 $\vec{J} \cdot \vec{N}$  : nombre de neutrons traversant une surface orthogonale à  $\vec{N}$



# Modélisation de la neutronique

## Grandeurs fondamentales de la neutronique

- ▶ flux de neutrons :  $\Phi(\vec{r}, \vec{\Omega}, E, t)$  [ $cm^{-2} s^{-1}$ ]  
nombre de neutrons traversant une surface élémentaire orthogonale par unité de temps
- ▶ courant neutronique :  $\vec{J}(\vec{r}, \vec{\Omega}, E, t)$  [ $cm^{-2} s^{-1}$ ]  
 $\vec{J} \cdot \vec{N}$  : nombre de neutrons traversant une surface orthogonale à  $\vec{N}$
- ▶  $\Phi(\vec{r}, \vec{\Omega}, E, t) = v n(\vec{r}, \vec{\Omega}, E, t)$   
 $\vec{J}(\vec{r}, \vec{\Omega}, E, t) = \vec{\Omega} \Phi(\vec{r}, \vec{\Omega}, E, t)$





# Modélisation de la neutronique

## Transport libre (sans collision)

- ▶ Opérateur de transport :

$$\frac{1}{v} \frac{d\Phi}{dt} = \vec{\Omega} \cdot \vec{\nabla}_{\vec{r}} \Phi$$



# Modélisation de la neutronique

## Transport libre (sans collision)

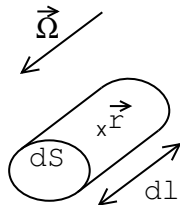
- ▶ Opérateur de transport :

$$\frac{1}{v} \frac{d\Phi}{dt} = \vec{\Omega} \cdot \vec{\nabla}_{\vec{r}} \Phi$$

- ▶ Bilan du nombre de neutrons dans un cylindre :

neutrons dans le cylindre

$$\overbrace{dS \, dl \, dn(\vec{r})}$$





# Modélisation de la neutronique

## Transport libre (sans collision)

- ▶ Opérateur de transport :

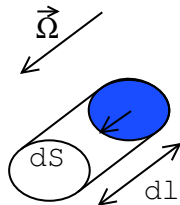
$$\frac{1}{v} \frac{d\Phi}{dt} = \vec{\Omega} \cdot \vec{\nabla}_{\vec{r}} \Phi$$

- ▶ Bilan du nombre de neutrons dans un cylindre :

*neutrons dans le cylindre*

$$\overbrace{dS \, dl \, dn(\vec{r})}$$

$$= \underbrace{dS \, dt \, \Phi(\vec{r} - \frac{dl}{2} \vec{\Omega})}_{\text{neutrons qui rentrent}}$$





# Modélisation de la neutronique

## Transport libre (sans collision)

- ▶ Opérateur de transport :

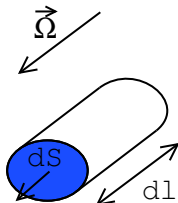
$$\frac{1}{v} \frac{d\Phi}{dt} = \vec{\Omega} \cdot \vec{\nabla}_{\vec{r}} \Phi$$

- ▶ Bilan du nombre de neutrons dans un cylindre :

neutrons dans le cylindre

$$dS \, dl \, dn(\vec{r})$$

$$= \underbrace{dS \, dt \, \Phi(\vec{r} - \frac{dl}{2} \vec{\Omega})}_{\text{neutrons qui rentrent}} - \underbrace{dS \, dt \, \Phi(\vec{r} + \frac{dl}{2} \vec{\Omega})}_{\text{neutrons qui sortent}}$$





# Modélisation de la neutronique

## Interactions avec la matière : grandeurs fondamentales

- ▶ Section efficace (macroscopique) :  $\Sigma$  [ $cm^{-1}$ ]  
sur un petit parcours  $dx$ , la probabilité de collision est  $\Sigma dx$   
 $1/\Sigma$  est la longueur moyenne de parcours entre deux collisions



# Modélisation de la neutronique

## Interactions avec la matière : grandeurs fondamentales

- ▶ Section efficace (macroscopique) :  $\Sigma$  [ $cm^{-1}$ ]  
sur un petit parcours  $dx$ , la probabilité de collision est  $\Sigma dx$   
 $1/\Sigma$  est la longueur moyenne de parcours entre deux collisions
- ▶ Taux de réaction :  $\tau = \Sigma \Phi$  [ $cm^{-3} s^{-1}$ ]  
nombre d'interactions par unité de temps et de volume :
  - ▶  $\tau_f$  : fission (le neutron provoque la fission du noyau rencontré)
  - ▶  $\tau_S$  : diffusion (le neutron repart dans une autre direction avec une vitesse moindre)
  - ▶  $\tau_C$  : capture radiative (le neutron est absorbé par le noyau)
  - ▶ ...



# Modélisation de la neutronique

## Interactions avec la matière : opérateur de collision et sources

$$\frac{1}{v} \frac{d\Phi}{dt} = \underbrace{-\Sigma_t \Phi}_{\text{disparition :}} + \underbrace{Q}_{\text{sources :}}$$

*disparition :*

- scattering
- capture
- fission

*sources :*

- scattering
- fission



# Equation de Boltzmann

## Forme stationnaire intégró-différentielle simplifiée

- ▶ Equation stationnaire :

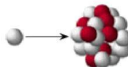


# Equation de Boltzmann

## Forme stationnaire intégrro-différentielle simplifiée

- Equation stationnaire :

$$\underbrace{\vec{\Omega} \cdot \vec{\nabla}_{\vec{r}} \Phi}_{\text{transport}}$$





# Equation de Boltzmann

## Forme stationnaire intégrô-différentielle simplifiée

- Equation stationnaire :

$$\underbrace{\vec{\Omega} \cdot \vec{\nabla}_{\vec{r}} \Phi}_{\text{transport}} + \underbrace{\Sigma \Phi}_{\text{interactions}}$$





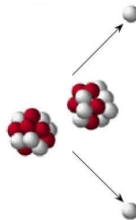
# Equation de Boltzmann

## Forme stationnaire intégro-différentielle simplifiée

► Equation stationnaire :

$$\underbrace{\vec{\Omega} \cdot \vec{\nabla}_{\vec{r}} \Phi}_{\text{transport}} + \underbrace{\Sigma \Phi}_{\text{interactions}} = \underbrace{S}_{\text{sources}}$$

– internes  
– externes





# Equation de Boltzmann

## Forme stationnaire intégrô-différentielle simplifiée

► Equation stationnaire :

$$\underbrace{\vec{\Omega} \cdot \vec{\nabla}_{\vec{r}} \Phi}_{\text{transport}} + \underbrace{\Sigma \Phi}_{\text{interactions}} = \underbrace{S}_{\text{sources}}$$

– *internes*  
– *externes*

► Conditions aux limites :

- réflexion
- translation
- flux nul
- ...



# Plan

## Introduction

Intérêt de la simulation neutronique

## Modélisation de la neutronique : éq. de Boltzmann

Modélisation de la neutronique

Equation de Boltzmann

## Méthode des caractéristiques (MOC)

Étude de l'équation de Boltzmann

Fonctionnement de la méthode

## Améliorations de la méthode des caractéristiques

Méthode des « bandes »

Traçage modulaire



# Étude de l'équation de Boltzmann

## Motivations pour MOC

- ▶ Equation sur le flux  $\Phi$  et le courant  $\vec{J}$  :

$$\vec{\Omega} \cdot \vec{\nabla}_{\vec{r}} \Phi = \text{div } \vec{J}$$



# Étude de l'équation de Boltzmann

## Motivations pour MOC

- ▶ Equation sur le flux  $\Phi$  et le courant  $\vec{J}$  :

$$\vec{\Omega} \cdot \vec{\nabla}_{\vec{r}} \Phi = \text{div } \vec{J}$$

- ▶ L'opérateur de transport n'est pas "compatible" avec les termes sources provenant de l'opérateur de collision.



# Étude de l'équation de Boltzmann

## Motivations pour MOC

- ▶ Equation sur le flux  $\Phi$  et le courant  $\vec{J}$  :

$$\vec{\Omega} \cdot \vec{\nabla}_{\vec{r}} \Phi = \text{div } \vec{J}$$

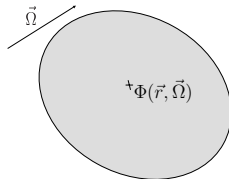
- ▶ L'opérateur de transport n'est pas "compatible" avec les termes sources provenant de l'opérateur de collision.
- ▶ Il est intéressant de :
  - ▶ simplifier l'opérateur de transport (loi de Fick  $\rightarrow$  diffusion)
  - ▶ mettre en place un schéma numérique permettant de bien intégrer le transport ( $\rightarrow$  méthode des caractéristiques)

# Méthode des caractéristiques

## Inversion de l'opérateur de transport

- Equation stationnaire de transport libre des neutrons :

$$\vec{\Omega} \cdot \vec{\nabla}_{\vec{r}} \Phi = 0$$



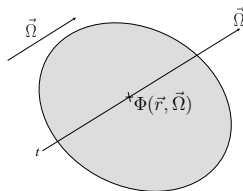
# Méthode des caractéristiques

## Inversion de l'opérateur de transport

- Equation stationnaire de transport libre des neutrons :

$$\vec{\Omega} \cdot \vec{\nabla}_{\vec{r}} \Phi = 0$$

- Le long d'une droite de direction  $\vec{\Omega}$ , le flux  $\Phi$  est constant





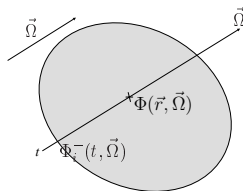
# Méthode des caractéristiques

## Inversion de l'opérateur de transport

- Equation stationnaire de transport libre des neutrons :

$$\vec{\Omega} \cdot \vec{\nabla}_{\vec{r}} \Phi = 0$$

- Le long d'une droite de direction  $\vec{\Omega}$ , le flux  $\Phi$  est constant  
⇒ la connaissance du flux aux bords du domaine suffit pour retrouver le flux en chaque point.





# Méthode des caractéristiques

## Prise en compte des absorptions

- ▶ Transport libre et absorption :

$$\vec{\Omega} \cdot \vec{\nabla}_{\vec{r}} \Phi + \Sigma \Phi = 0$$



# Méthode des caractéristiques

## Prise en compte des absorptions

- ▶ Transport libre et absorption :

$$\vec{\Omega} \cdot \vec{\nabla}_{\vec{r}} \Phi + \Sigma \Phi = 0$$

- ▶ Durant un parcours de longueur  $l$  dans un matériau de section efficace  $\Sigma$ , la probabilité de non-absorption d'un neutron est :  $e^{-\Sigma l}$



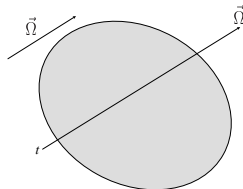
# Méthode des caractéristiques

## Prise en compte des absorptions

- ▶ Transport libre et absorption :

$$\vec{\Omega} \cdot \vec{\nabla}_{\vec{r}} \Phi + \Sigma \Phi = 0$$

- ▶ Durant un parcours de longueur  $l$  dans un matériau de section efficace  $\Sigma$ , la probabilité de non-absorption d'un neutron est :  $e^{-\Sigma l}$
- ▶ Traversée de la région  $i$  le long d'une caractéristique  $(t, \Omega)$ :





# Méthode des caractéristiques

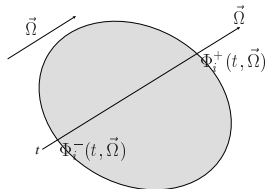
## Prise en compte des absorptions

- ▶ Transport libre et absorption :

$$\vec{\Omega} \cdot \vec{\nabla}_{\vec{r}} \Phi + \Sigma \Phi = 0$$

- ▶ Durant un parcours de longueur  $l$  dans un matériau de section efficace  $\Sigma$ , la probabilité de non-absorption d'un neutron est :  $e^{-\Sigma l}$
- ▶ Traversée de la région  $i$  le long d'une caractéristique  $(t, \vec{\Omega})$ :

$$\Phi_i^+(t, \vec{\Omega}) = \Phi_i^-(t, \vec{\Omega}) e^{-\Sigma_i l_i(t, \vec{\Omega})}$$





# Méthode des caractéristiques

## Prise en compte des sources

- ▶ Equation complète :

$$\vec{\Omega} \cdot \vec{\nabla}_{\vec{r}} \Phi + \Sigma \Phi = S$$



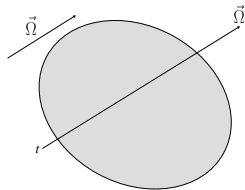
# Méthode des caractéristiques

## Prise en compte des sources

- ▶ Equation complète :

$$\vec{\Omega} \cdot \vec{\nabla}_{\vec{r}} \Phi + \Sigma \Phi = S$$

- ▶ Les sources apparaissent tout au long du parcours et sont soumises à l'absorption jusqu'à la sortie de la région.





# Méthode des caractéristiques

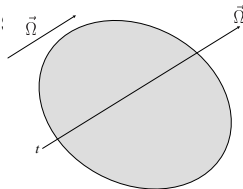
## Prise en compte des sources

- ▶ Equation complète :

$$\vec{\Omega} \cdot \vec{\nabla}_{\vec{r}} \Phi + \Sigma \Phi = S$$

- ▶ Les sources apparaissent tout au long du parcours et sont soumises à l'absorption jusqu'à la sortie de la région. Le flux issu de sources sortant de la région est :

$$\int_0^l s e^{-\Sigma(l-x)} dx = \frac{1 - e^{-\Sigma l}}{\Sigma} s$$





# Méthode des caractéristiques

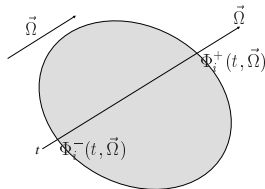
## Résolution de l'équation de Boltzmann complète

- Equation de Boltzmann complète :

$$\vec{\Omega} \cdot \vec{\nabla}_{\vec{r}} \Phi + \Sigma \Phi = S$$

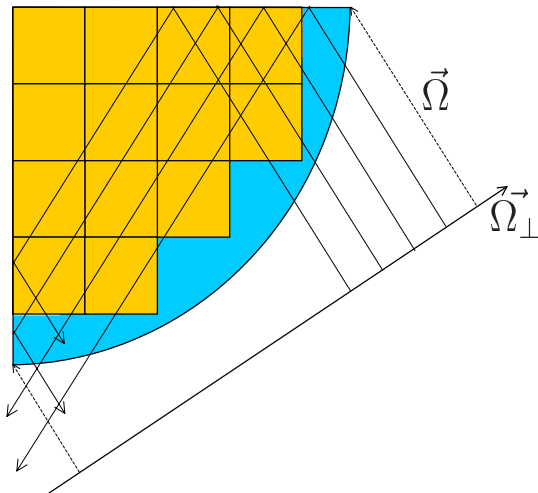
- Mise à jour du flux lors de la traversée d'une région  $i$  le long d'une caractéristique  $(t, \vec{\Omega})$ :

$$\begin{aligned} \Phi_i^+(t, \vec{\Omega}) &= \Phi_i^-(t, \vec{\Omega}) e^{-\Sigma_i l_i(t, \vec{\Omega})} \\ &+ \frac{1 - e^{-\Sigma_i l_i(t, \vec{\Omega})}}{\Sigma_i} s_i(\vec{\Omega}) \end{aligned}$$



# Méthode des caractéristiques

## Mise en place en pratique





# Plan

## Introduction

Intérêt de la simulation neutronique

## Modélisation de la neutronique : éq. de Boltzmann

Modélisation de la neutronique

Equation de Boltzmann

## Méthode des caractéristiques (MOC)

Étude de l'équation de Boltzmann

Fonctionnement de la méthode

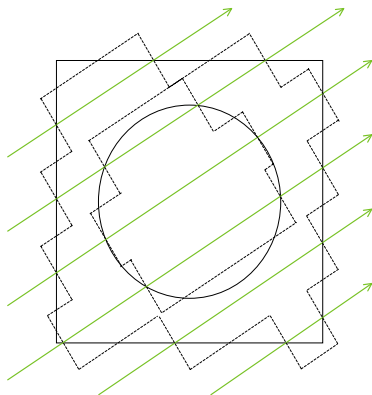
## Améliorations de la méthode des caractéristiques

Méthode des « bandes »

Traçage modulaire

# Méthode des « bandes »

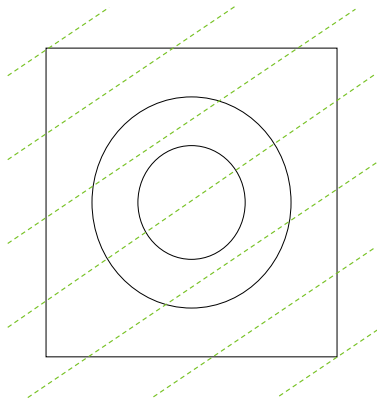
## Problématique



- ▶ Mauvaise approximation de la géométrie :
  - ▶ Longueurs d'intersection non représentatives
  - ▶ Volumes approchés
- ▶ Discontinuités matérielles non prises en compte

# Méthode des « bandes »

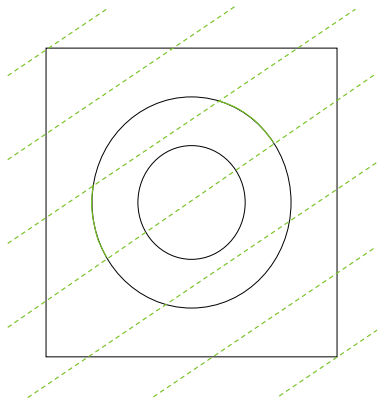
## Mise en place



### 1. Découpage du domaine en « bandes »

# Méthode des « bandes »

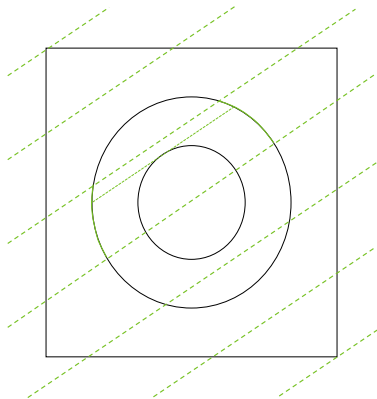
## Mise en place



## 2. Découpage des bandes en « sections »

# Méthode des « bandes »

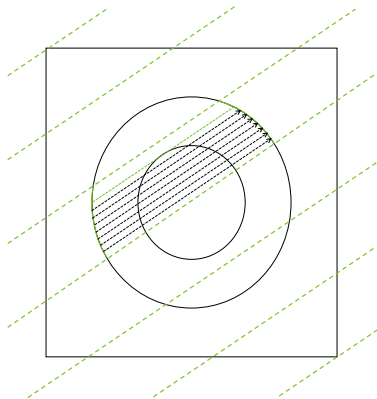
## Mise en place



### 3. Projection des discontinuités dans les sections

# Méthode des « bandes »

## Mise en place



**4. Intégration semi-exacte  
dans les zones  
inter-discontinuités**

# Méthode des « bandes »

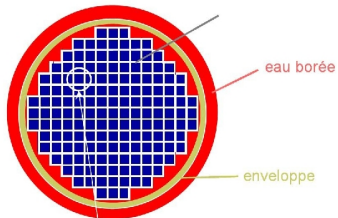
## Résultats

- ▶ Meilleure convergence en pas de traçage :
  - ▶ Convergence monotone
  - ▶ Meilleure précision à pas de traçage égal

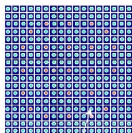


# Traçage modulaire

## Problématique



- ▶ Problème fortement multi-échelle
- ▶ Présence de réseaux réguliers à tous les niveaux
- ▶ Présence de symétries



assemblage

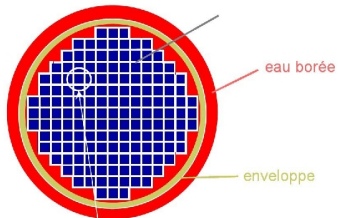


crajon / cellule

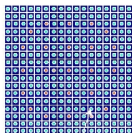


# Traçage modulaire

## Problématique



- ▶ Problème fortement multi-échelle
- ▶ Présence de réseaux réguliers à tous les niveaux
- ▶ Présence de symétries



assemblage

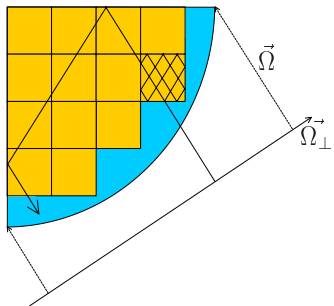


crayon / cellule

Est-il possible de construire un traçage sur une cellule uniquement ?

# Traçage modulaire

## Problématique



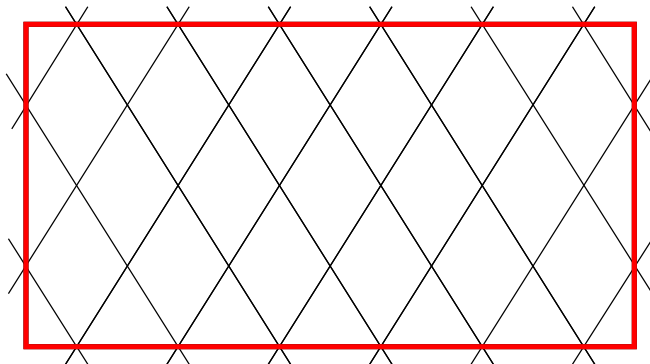
Conditions à vérifier pour le traçage :

- ▶ nombre fini de segments
- ▶ compatibilité avec les translations
- ▶ compatibilité avec les réflexions
  
- ▶ si possible, pas constant



# Traçage modulaire

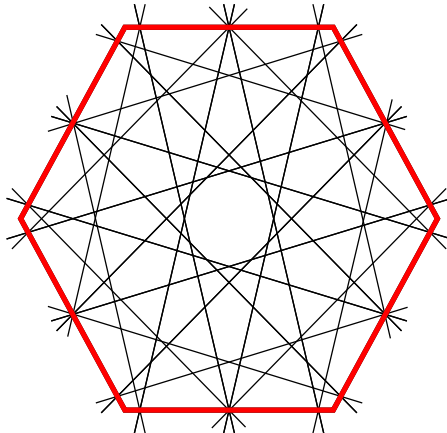
## Exemples de traçages invariants





# Traçage modulaire

## Exemples de traçages invariants



## Conclusions

- ▶ La méthode des caractéristiques permet de résoudre efficacement le problème du transport des neutrons.
- ▶ La méthode des caractéristiques peut être améliorée en prenant en compte les spécificités des problèmes traités :
  - ▶ Discontinuités matérielles  
→ Intégration transverse semi-exacte
  - ▶ Périodicité de la géométrie  
→ Traçage modulaire



## Conclusions

- ▶ Améliorations possibles
  - ▶ méthode des « bandes » :
    - ▶ augmentation du pas de traçage
    - ▶ représentation linéaire du flux
  - ▶ traçage modulaire :
    - ▶ implémentation en pratique
    - ▶ combinaison avec les bandes
  - ▶ parallélisation
  - ▶ vers le calcul 3D ?



# Principe de la fission nucléaire

## Réaction en chaîne

